



دراسة موسعة بخصوص ظاهرة الارتعاش الضوئي والتفاصيل التصميمية للمقياس الإحصائي المُصمم من قبل قسم الهندسة الكهربائية بالمعهد العالي للتقييات الهندسية طرابلس

سالم شفاط^{1*}, نادية المصراتي², مجدي بالتمر³

¹المعهد العالي للتقييات الهندسية، طرابلس، ليبيا، alemshffat5@gmail.com

²المعهد العالي للتقييات الهندسية، طرابلس، ليبيا، nm8645091@gmail.com

³المعهد العالي للتقييات الهندسية، طرابلس، ليبيا، magdimb75@gmail.com

الملخص

ظاهرة الارتعاش الضوئي تتسرب في حالات قلق شديد وتؤثر وصداع وفي بعض الحالات قد يصل الأمر لحدوث حالات صرع لمن لديهم حساسية ضد هذا النوع من التحفيز العصبي، وهي تحدث بسبب حدوث تذبذبات مستمرة أو شبه مستمرة لشدة الإضاعة. ولا يقصد هنا التغيرات المنفردة مهما كانت شدتتها، بل ذلك التغير الذي له نمط وطبيعة اتجاهية مستمرة في الزمن وتاثيره ذو طبيعة احصائية تراكمية، وهذا الإجهاد يكون في أعلى شدة له حين تكون تردد هذه التغيرات هو 8.8 هرتز. من المعلوم أن القدرة الكهربائية للمصابح الوهجي تتناسب مع جذر متوسط مربع القيمة اللحظية RMS لل媧ة الجهدية، عليه يجب مراقبة هذه الاضطرابات الجهدية والتي تظهر كتلحين لمطال الموجة الجهدية. يحدث هذا النوع من الاضطرابات بسبب شغل منظمات الجهد للمولدات المتزامنة أو بسبب التغير المستمر لقيمة الأحمال على الشبكة، وخصوصاً الغير خطية. نظراً لأهمية الموضوع على سلامة البشر فقد حدد النطط الأوروبي EN-60150 القيم المسموحة لقيمة المعامل Pst الذي يعطي احتمالية حدوث توتر بسبب الارتعاش الضوئي، على أساس قياس القيمة اللحظية للموجة الجهدية لمدة عشرة دقائق، بينما يناظره معامل Plt الذي يتم حسابه بناءً على المعامل الأول كمتوسط هندسي لمدة ساعتين، ويحدد النطط الأوروبي EN-50160 الحدود المسموحة طيلة أيام الأسبوع من القياس المستمر. القياس عبارة عن جهاز يتكون من عدة صناديق وظيفية تنتهي بتحليل احصائي، عليه فقد أصدرت الهيئة الدولية للتقييات الكهربائية نمطاً قياسياً IEC61000-4-15 يصف المخطط الصندوقي لمقياس مدى تأثير ظاهرة الاضطراب الضوئي على السلوك البشري. في هذه الورقة البحثية تم اعطاء تفاصيل تصميمية غير مذكورة في الأنماط، وكذلك برنامج حاسوب على الماتلاب لمقياس رقمي بناءً على تصميم خاص بالمعهد العالي للتقييات الهندسية / طرابلس.

الكلمات الدالة:

- التحليل الإحصائي.
- الصرع عند الأطفال.
- التشنجات الصلبية.
- نوبات الصرع.
- التوافق.
- الكهرو מגناطيسي.
- المعالجات الرقمية.
- للإشارات.

*البريد الإلكتروني للباحث المراسل: Salemshffat5@gmail.com

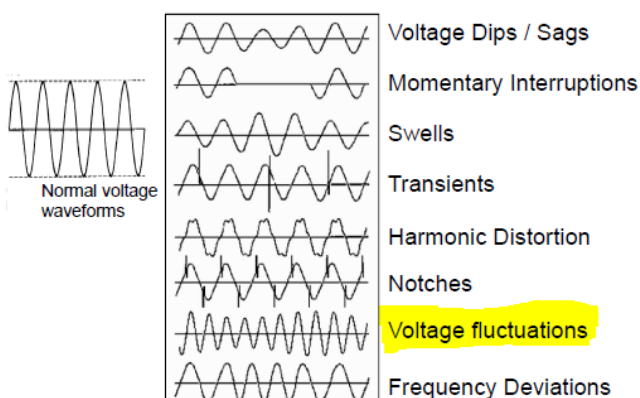
1. المقدمة

يحدد المعيار الأوروبي EN 50160 معايير الجهد في شبكات التوزيع للجهد المنخفض والمتوسط في ظروف العمل الاعتيادية [1]. المعيار المذكور يُعرف وينظم القيم الاسمية للجهد الكهربائي في شبكة التوزيع من بينها التردد، جذر متوسط مربع القيمة اللحظية، احتواء التواقيع، التمايز بين الأطوار، ويضع القيم الحدية للمؤشرين Pst، Plt اللذان يدور حولهما موضوع هذه الورقة البحثية. هذه المؤشرات يتم حسابها بناءً على تحليل احصائي تسبقها معالجة رقمية للإشارات DSP بطريقة معقدة، وقيمتها تعكس

مدى احتمالية حدوث مضاعفات صحية بسبب ظاهرة الارتعاش الضوئي، هذه القيم في العادة تتغير في ظل ظروف التشغيل العادية بشكل أو آخر. الأضطرابات في الجهد الكهربائي هي دالة في تغير الأحمال، والتي غالباً ما تكون ذات طبيعة عشوائية لأنها ناتجة بسبب التغير المستمر للطلب على الطاقة من فرادي المستهلكين، حيث الأحمال تتغير بشكل غير منتظم مع الوقت. التقليبات الأكبر في الجهد الكهربائي تحدث بسبب التغيرات في قيمة الأحمال الكبيرة، مثل: بدء محركات التيار المتردد والمضخات والضواغط وأفران القوس والرافعات. يمكن أن تتسبب عملية فصل ووصل هذه الأحمال وكذلك تغير الحمولة عليها أثناء التشغيل في حدوث أضطرابات كبيرة في جهد التغذية.

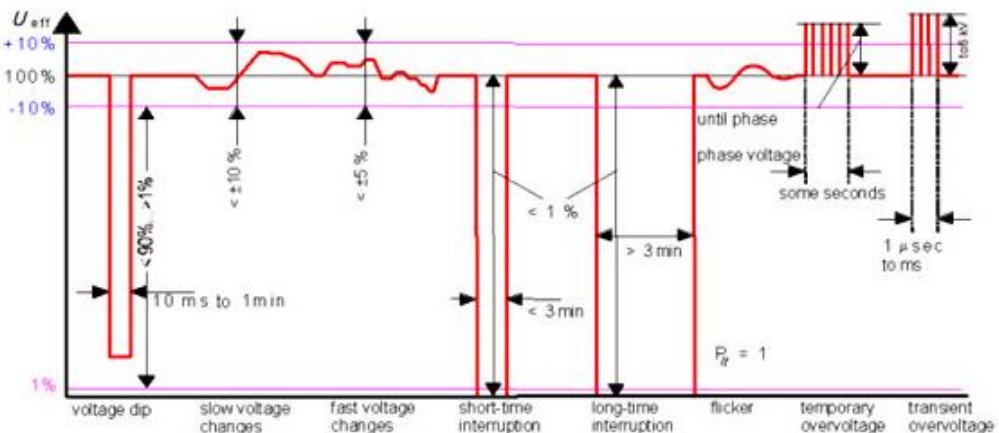
2. ما هو الارتعاش الضوئي:

الأضطرابات التي قد تحدث بالموجة الجهدية لها " بصمات" أو أنماط مختلفة، ويتم تصنيفها حسب قيمة الهبوطات الجهدية و زمن استمرارها، حيث تدرج من النبضات العابرة إلى الانقطاع القصير والطويل في التغذية بالطاقة الكهربائية. الشكل 1 يوضح شكل هذه الأضطرابات على الموجة الجهدية، بينما الشكل 2 يصنف هذه الأضطرابات بناءً على قيمة RMS للموجة الجهدية حسب القيمة النسبية لشدة الأضطراب، و زمن استمرار الأضطراب.



شكل (1) تأثير الأضطرابات المختلفة على شكل الموجة الجهدية (Power Quality/Voltage Disturbance)

يوضح الشكل (1) الأضطراب الجهدى نوع "الترجم الجهدى" Voltage fluctuation وهو عبارة عن اضطرابات لها ترددات أكثر من نصف هرتز وأقل من 35 هرتز. هناك خلط حتى بين الكهربائين في الدول الاوروبية بين الهبوطات الجهدية وظاهرة ترجم الجهد، حيث يظن البعض أن العمل الجيد لمنظمات الجهد الكهربائية كفيل بحل هذه المسألة وهذا يعتبر خطأ كبيراً فهذا النوع من الأضطرابات قد يحدث حتى عند هبوط الجهد إلى حدود 0.199% مع الأخذ في الإعتبار أن قيمة الجهد لا تحدد خطورة هذا الأضطراب بل طبيعته، وأشد ما يكون على الإنسان عند تردد 8.8 هرتز أو قريب منه.



شكل (2) أنواع الأضطرابات الجهدية كعلاقة بين قيمة التغير وزمن الأضطراب موضحة

حسب تغير قيمة RMS للجهد الكهربائي المغذي.

يوضح الشكل(2) التردد الجهدى الذى يسبب ظاهرة الارتعاش الصوئي، حيث يوضح الشكل القفزات الجهدية اللحظية والانقطاع الطويل أي الأضطراب (الثالث على اليمين). نلاحظ أن قيمة هذه التموجات تقع في مجال القيم المسموح بها أي في نطاق عمل منظمات الجهد. التغيرات في قيمة RMS لجهد الشبكة بنسبة تتجاوز العشرة في المائة قد يكون خطراً على الأجهزة الكهربائية في حين أن تغيرات الجهد بتردد منخفض (عدة هرتزات) قد تؤدي إلى تغيرات ملحوظة في إثارة الضوء المنبعث. في الأنماط الدولية تُعرف هذه الظاهرة بالـ Flickermeter ويعرف جهاز القياس الخاص بها بالـ Flicker، حيث تطرقنا في هذه الورقة إلى استعمال مصطلح "الارتعاش الصوئي" أو الارتعاش اختصاراً، والجهاز المستعمل لقياس سلطان عليه اختصاراً "مقاييس الارتعاش". في عام 1986 تم نشر معيار IEC868، والذي اعتمد تعريف مؤشرات شدة الارتعاش قصير المدى (A short-term flicker Perceptibility) Pst و (A long-term flicker Perceptibility).

تم تطوير طرق اختبار وقياس هذه المؤشرات في المعايير الدولية اللاحقة [3-2]، حيث المعيار [1] يحدد المستوى المسموح به من إزعاج ارتعاش الوميض الصوئي في ظل ظروف التشغيل العادلة، وفي أي أسبوع يجب أن يبقى $P_{st} \leq 1\%$ خلال 95% من الوقت الكلي. حالياً في العديد من المراكز الدولية يتم إجراء بحوث مكثفة حول ظاهرة الارتعاش الصوئي حيث أصبح الامتنال للمعايير الأوروبية فيما يتعلق بهذه الظواهر إلزامياً، وهذا يعني أنها تُعامل كمعايير للسلامة، حيث أن سياسة الاتحاد الأوروبي لا تلزم استعمال الأنماط بقعة القانون إلا فيما يخص السلامة البشرية، أما باقي الأنماط ف تكون توافقية وملزمة فقط بقعة التعاقد، وبالرغم من كل هذا الاهتمام الدولي لم يحصل هذا الموضوع حسب علمنا باهتمام في بلادنا فلا يوجد وعي كافٍ أو حتى معرفة بسيطة حول هذا الموضوع ليس فقط بين مستهلكي الطاقة ولكن أيضاً بين موردي الطاقة.

3. الجانب الطبي والفيزيائي المرتبط مع ظاهرة الارتعاش:

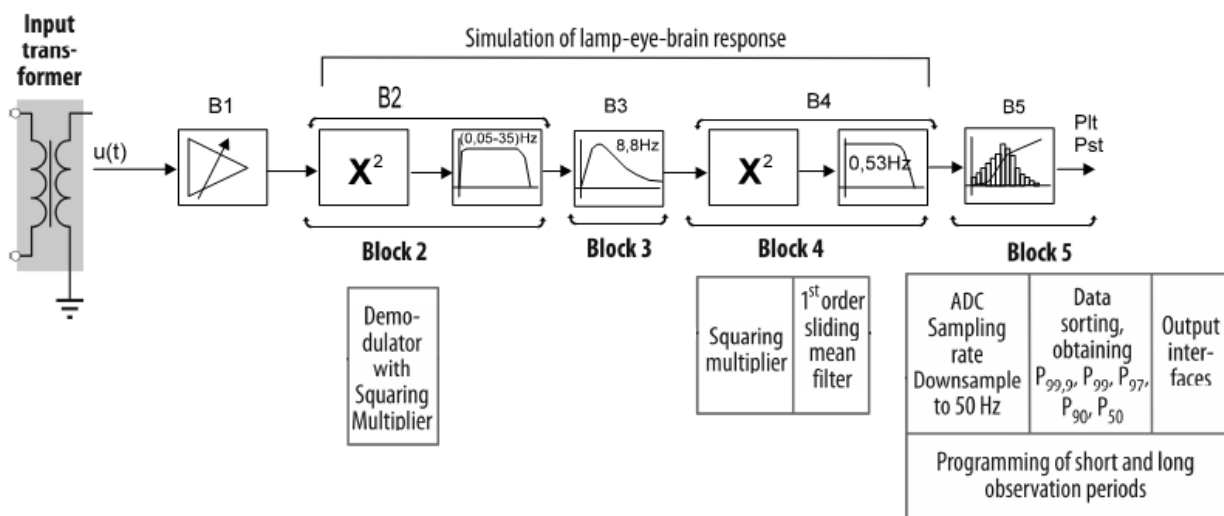
يرتبط نمط الضوء الوامض باستجابة العين البشرية للإضاءة المتغيرة وهو أمر شخصي بطبيعته ويختلف من شخص إلى آخر، هذا الأضطراب في الإضاءة يمكن أن يسبب التعب وحالة من التوتر العصبي وأمراض أكثر خطورة كما أن له تأثيراً على كفاءة عمل الأشخاص في الغرف التي يحدث فيها ارتعاش ولو خفيفاً. فرط الحساسية ضد الأضطرابات الصوئية له علاقة وطيدة بنوبات الصرع، حيث تشير

الإحصائيات ذات العلاقة أن نحو 3% من الأشخاص الذين يعانون من حساسية الأضواء معرضون لنوبات صرع بسبب تردد ومضمض الإضاءة أو بسبب أنماط (بصمة) ضوئية معينة حيث تعرف هذه الحالة بصرع حساسية الضوء "photographic epilepsy".

يحدث هذا النوع من الصداع في كثير من الأحيان عند الأطفال والمرأهقين خاصة عند الأشخاص الذين يعانون من الصداع المعتم والنوع المعروف باسم الصداع الري اللوني عند الشباب "Youth Myoclonic Epilepsy or Juvenile Myoclonic Epilepsy" ، مع تقدم العمر تصبح النوبات أقل فأقل وكثير من الناس لا يدركون أنهم حساسون للضوء أو لأنواع معينة من الأنماط الضوئية، حتى تحدث لهم نوبات ناتجة عن ظروف ضوئية محددة، وكثير من البشر الذين يشعرون بالقلق إزاء التعرض للضوء حتى أولئك الذين لا يتعرضون لنوبات صداع لديهم أعراض أخرى مثل الصداع والغثيان والدوخة والأعراض الأخرى المصاحبة لنوبات الصداع [6-4]. تقديراً لأهمية قضية الارتعاش على الصحة العامة وتركيز الطالب وما ينتج عنها من مشاكل أخرى (حدث فعلياً في قسم الهندسة الكهربائية اصابة طالب بنوبة صداع نعتقد أنها كانت بسبب ارتعاش ضوء مصابيح الفلوريست العبر سليم) فقد تولت المجموعة البحثية في المعهد العالي للتقنيات الهندسية – طرابلس، تطوير مقياس ارتعاش خاص يعتمد على الحاسوب حتى تستطيع العمل على دراسات إحصائية ميدانية وخصوصاً للأماكن التي يتواجد فيها الأطفال والمرأهقين والشباب صغار السن، فهم معرضون بشكل أكبر.

4. التركيب البنائي الصندوقى لمقياس الارتعاش الضوئي حسب النموذج [2]

يتكون الجهاز من خمسة صناديق وظيفية (B1 – B5)، حيث مهمة الصندوق الأول B1 قراءة الإشارة وتعديل التضخيم، وفي حالة القراءة الرقمية يجب استعمال مرشح تمرير سفلي بتردد قطع 35 هرتز حتى لا يظهر تراكم الطيف الترددي (aliasing) الذي قد يشوّه الاشارة ويعطي نتائج خاطئة، تصميم مرشح فعال (anti-aliasing) باستخدام مضخم العمليات تم تقديمها في الورقة البحثية [7]. في حالة تجميع البيانات بشكل رقمي هناك اعتقاد بين كثير من مصممي هذه الأجهزة أن جمع البيانات يتطلب ترددات عالية، في الحقيقة عند استعمال مرشح جيد فإن الجمع حتى بسرعة 1000 عينة في الثانية كافٍ جداً وهذا ما يفعل عليه الجهاز المقترن، حيث يكون تردد نيكوبست هو 500 هرتز وهو أكبر بـ 14 مرة بالنسبة لتردد القطع 35 هرتز وقد تمت تجربته فعلياً في أحد المعامل الأوروبيّة المعتمدة والمخولة بإجراء اختبارات التوافق الكهرومغناطيسي والذي قام بتصميمه الدكتور منصور حشاد [8]. الجهاز المقترن هنا هو نسخة مبسطة من الجهاز المذكور، أيضاً في السنوات الأخيرة ضمت شركة الماتوركس نموذجاً مرققاً للمقياس [9]. الأمران اللذان يجب الانتباه إليهما في هذا الموضوع أنه يجب استعمال محولات اشارة تناظرية إلى رقمية (ADC) بمحولات عدد 16 بت، ولا تقل بأي حال عن 12 بت أولاً، والأمر الثاني هو استغلال أغلب النطاق الجهدي للتحويل، بمعنى يجب تأمين ضبط موائمة جيد فعدم الموائمة يعني استعمال محول بعدد أقل من البتات. توجد ورقات بحثية عديدة تتناول أنواع أخرى من القياس سواء من ناحية الإضاءة أو تأثيرات جمع البيانات [10-12] إلا أننا هنا سنلتزم فقط بالنموذج حسب المعيار الدولي [2].



الشكل (3) البنية الصندوقية لمقياس الخفافن الضوئي حسب النمط IEC 61000-4-15

الصندوق الثاني (B2): ينقسم إلى صندوقين فرعرين حيث يقوم الأول بتربيع الإشارة يعمل على عكس الجزء السالب وبالتالي تظهر مركبة ثابتة تتطلب الترشيح، ويعمل الآخر على إزاحة التردد لأعلى وهذا جيد، ففضل استعمال مرشح تمرير نطيقي (من 0.5 – إلى 35) هرتز نعمل على إزاحة المركبة الثابتة وكل التوافقيات الأعلى من 35 هيرتز.

الصندوق الثالث (B3): يتكون من مرشحين ويعافي استجابة التردد للمصباح المتواهج (60 واط - 230 فولت) والاستجابة البصرية البشرية لتقليبات الجهد الجيبية، وتتجدر الإشارة هنا إلى أن المعيار [2] ينطبق على المصابيح المتواهجة ولا يأخذ في الاعتبار خصائص مصابيح الفلوريسنت.

الصندوق الرابع (B4): يتتألف من مضاعف تربيعى ودائرة تأخير قصورية بثابت زمني 0.3 ثانية ومرشح تمرير منخفض من الدرجة الأولى مياعافي انفعال الدماغ البشري لظاهرة الوميض، حيث يسمى مخرج هذا الصندوق بالإشارة اللحظية لمؤشر الإرتعاش الضوئي.

الصندوق الخامس (B5): يعبر عن الاحساس الانطباعية التي تؤثر عصبياً ونفسياً، لذلك فهذا الصندوق هو المسؤول عن التحليل الإحصائي للإشارة التي يتم الحصول عليها عند خرج الصندوق الرابع (B4) حيث يتم تصنيف مستويات الإشارة على أساس دالة الاحتمال التراكمي ويفترض التقسيم بين الحد الأدنى والحد الأقصى لقيمة إشارة الخرج للصندوق (B4) إلى 100 قسم. الجدول (1) يعطي المعيار [2] قيم للترددات وعمق التلحين بإشارة جيبية ومربعة بعرض معايرة الجهاز حيث يجب أن تكون القيمة القصوى للإشارة على خرج الصندوق الرابع مساوية للوحدة بشرط الا تتعدى القيمة بالجدول $\pm 5\%$.

الجدول (1) قيم معيار الجهاز على أساس السعة لإشارة الخرج على B4 ، (أ) موجة مربعة، (ب) موجة جيبية

Frequency (Hz)	Voltage fluctuation (%)						
0.5	2.34	10.5	0.27	0.5	0.514	10.0	0.205
1.0	1.432	11.0	0.282	1.0	0.471	10.5	0.213
1.5	1.08	11.5	0.296	1.5	0.432	11.0	0.223
2.0	0.882	12.0	0.312	2.0	0.401	11.5	0.234
2.5	0.754	13.0	0.348	2.5	0.374	12.0	0.246
3.0	0.654	14.0	0.388	3.0	0.355	13.0	0.275
3.5	0.568	15.0	0.432	3.5	0.345	14.0	0.308
4.0	0.5	16.0	0.48	4.0	0.333	15.0	0.344
4.5	0.446	17.0	0.53	4.5	0.316	16.0	0.376
5.0	0.398	18.0	0.584	5.0	0.293	17.0	0.413
5.5	0.36	19.0	0.64	5.5	0.269	18.0	0.452
6.0	0.328	20.0	0.7	6.0	0.249	19.0	0.498
6.5	0.3	21.0	0.76	6.5	0.231	20.0	0.546
7.0	0.28	22.0	0.824	7.0	0.217	21.0	0.586
7.5	0.266	23.0	0.89	7.5	0.207	22.0	0.604
8.0	0.256	24.0	0.962	8.0	0.201	23.0	0.68
8.8	0.25	25.0	1.042	8.8	0.199	24.0	0.743
9.5	0.254	33.33	2.13	9.5	0.200	33.33	1.67
10.0	0.26						

(ب)

(أ)

الجدول (2) قيم معيار الصندوق الإحصائي . B5 .

Rectangular changes per minute	Voltage changes $\Delta V/V (\%)$
1	2.724
2	2.211
7	1.459
39	0.906
110	0.725
1620	0.402
4000	2.4

الجدول (2) يستعمل لمعيار الصندوق الخامس (B5) حيث تتم اعطاء اشارات ملحوظة بإشارات مربعة، ويجب الانتبا
ه أن الجدول يعطي عدد التغيرات في الدقيقة، والمقصود بالتغير هو تغير كل حافة وبالتالي فلابد من تحويل التردد
الثانية إلى ثوانٍ لتكون النتيجة بالهرتز.

5. التركيب البنائي والبرمجي لمقاييس الارتفاع الضوئي حسب التصميم الخاص:

الجزء الحسابي من المقاييس ينقسم إلى جزء مبرمج بلغة الماتلاب وجزء ديناميكي في السيمولينك، على الأشكال (4-6) تم توضيح البرامج المطلوبة لتشغيل الجهاز. الشكل (4) برنامج بلغة الماتلاب لتعيين قيم المرشحات حسب متطلبات النمط.

```
% transmit.m
fp = 1000; Tp=1/fp ;
%Block Nr 2
[DB1,DA1] = butter(1,(.05*2/fp), 'high');
[DB2,DA2] = butter(6,(35*2/fp));
%Block Nr 3
k=1.74802; la=2*pi*4.05981; w1=2*pi*9.15494;
w2=2*pi*2.27979; w3=2*pi*1.22535; w4=2*pi*21.9;
% 1st filter
a12=1; a11=2*la; a10=w1.^2; b10=0; b11=k*w1;
% 2nd filter
a22=1/(w3*w4); a21=((1/w3)+(1/w4)); a20=1; b20=1; b21=1/w2;
%Transfer function 1st block.
m1=[a12 a11 a10]; l1=[b11 b10];
%Transfer function 2nd block.
m2=[a22 a21 a20]; l2=[b21 b20];
%Transfer function of 2 blocks
[B3B1,B3A1]=c2dm(l1,m1,Tp, 'zoh') ;
[B3B2,B3A2]=c2dm(l2,m2,Tp, 'zoh');
%Block 04
l4=[1]; m4=[0.3 1]; [B4B,B4A]=c2dm(l4,m4,Tp);
```

الشكل (4) برنامج بلغة الماتلاب لتعيين قيم المرشحات حسب متطلبات النمط.

البرنامج المعطى على الشكل (4) يجب تشغيله قبل تشغيل برنامج السيمولينك، حيث يتم ذلك من خلال سطر الأوامر أو باستخدام دوال السيمولينك التي تستطيع أن تستدعي الملفات عند بدء البرنامج.

```
[ ] function a=pert(w,C,S)
    idx=find(C==w);
    if ~isempty(idx)
        pointer=idx(1);
        a=S(pointer);

        return;
    end
    idx=find(C>w);
        pointer=idx(end);
        y2=S(pointer);
        x2=C(pointer);
    idx=find(C<w);
        pointer=idx(1);
        y1=S(pointer);
        x1=C(pointer);
        x=w;
    a=(y2-y1)*(x-x1)/(x2-x1)+y1;
```

الشكل(5) دالة الحساب الاحصائية لحساب احتمالات تخطي مستويات معينة

الشكل (5) يوضح دالة الحساب الاحصائية لحساب احتمالات تخطي مستويات معينة، تم حفظ هذا البرنامج في ملف باسم pert.m ووضعه في نفس المجلد مع الملفات الأخرى، حيث يتم إستدعاء هذا الملف من البرنامج لتشغيله. الشكل (6) يوضح البرنامج المسؤول عن الحسابات واظهار النتائج، وهذا الملف يتم استدعاؤه من سطر الأوامر للماتلاب بعد انتهاء التشبيه الحسوي أو وضع الأمر في دالة الإستدعاء في ملف السيمولينك حيث تتم العملية بشكل آلي، كل هذه الملفات و ما تتطلبه من توثيق يمكننا توفيره لأي باحث يرغب الاشتراك في دراسة ظاهرة الارتعاش الضوئي في ليبيا.

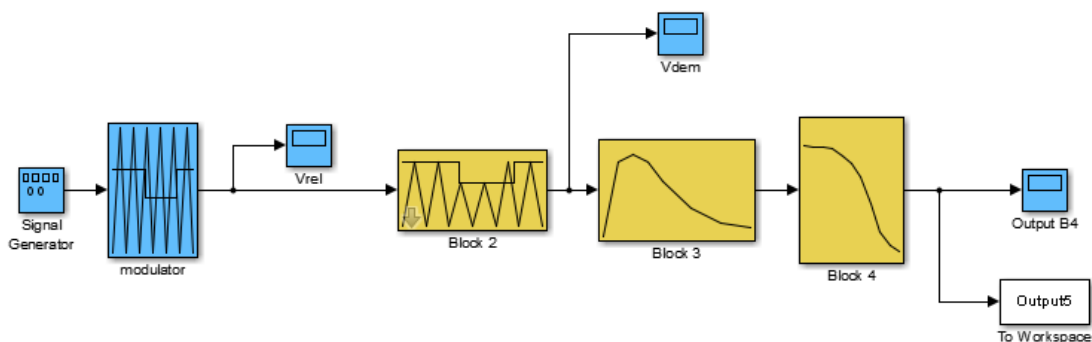
```

clc, close all %test.m
yo5 = Output5.signals.values; yo5(1:20000)=[];
podzial = 100; [a b] = hist(yo5, podzial); sig = sum(a);
s=fliplr(cumsum(fliplr(a))); CFL=100*s/sig; CFL=[CFL, 0];
b0=3*b(1)-3*b(2)+b(3); Smax=[b0, b]; p80=pert(80,CFL,Smax);
p50=pert(50,CFL,Smax); p30=pert(30,CFL,Smax);
p17=pert(17,CFL,Smax); p13=pert(13,CFL,Smax);
p10=pert(10,CFL,Smax); p8=pert(8,CFL,Smax);
p6=pert(6,CFL,Smax); p4=pert(4,CFL,Smax);
p3=pert(3,CFL,Smax); p2_2=pert(2.2,CFL,Smax);
p1_5=pert(1.5,CFL,Smax); p1=pert(1,CFL,Smax);
p0_7=pert(0.7,CFL,Smax); p0_1=pert(0.1,CFL,Smax);
p50s=((p30)+(p50)+(p80))/3; p10s=((p6)+(p8)+(p10)+(p13)+(p17))/5;
p3s=((p2_2)+(p3)+(p4))/3; pls=((p0_7)+(p1)+(p1_5))/3;
pst = (0.0314*p0_1+0.0525*pls+0.0657*p3s+0.28*p10s+0.08*p50s).^0.5
%%%%% (done!) %%%%%%
s = Smax;%max(Smax)*10 ;
figure, stairs(s,CFL), grid on
title(['Cumulative probability function (CPF) ->Pst=', num2str(pst)]);

```

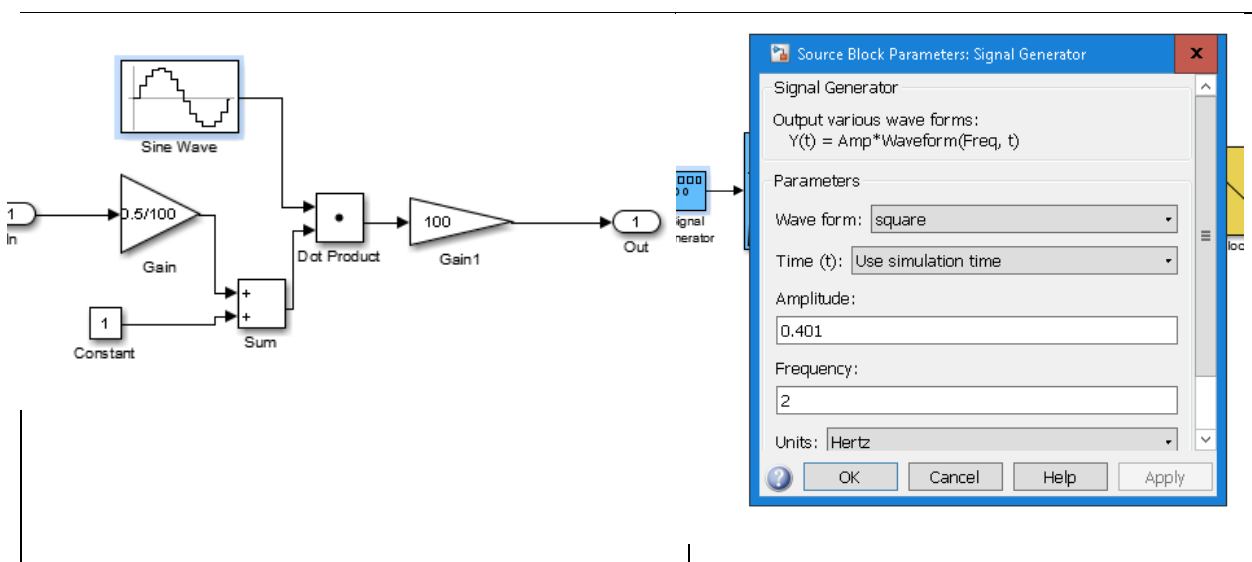
الجدول(6) برنامج حساب P_{st} والدالة الاحصائية CPF

على الشكل (7) تظهر الصناديق (B1-B4) في البرنامج التسبيحي سيمولينك، وتمت اضافة راسم الاشارات لفحص مخارج الصناديق مع تمرير اشارة مخرج الصندوق الرابع لذاكرة الماتلاب حتى تتم معالجتها حسب البرنامج **test.m** اسم المتغير **Output5** نوع **Structure with Time** لجمع $1/fp$ بتردد العينات.



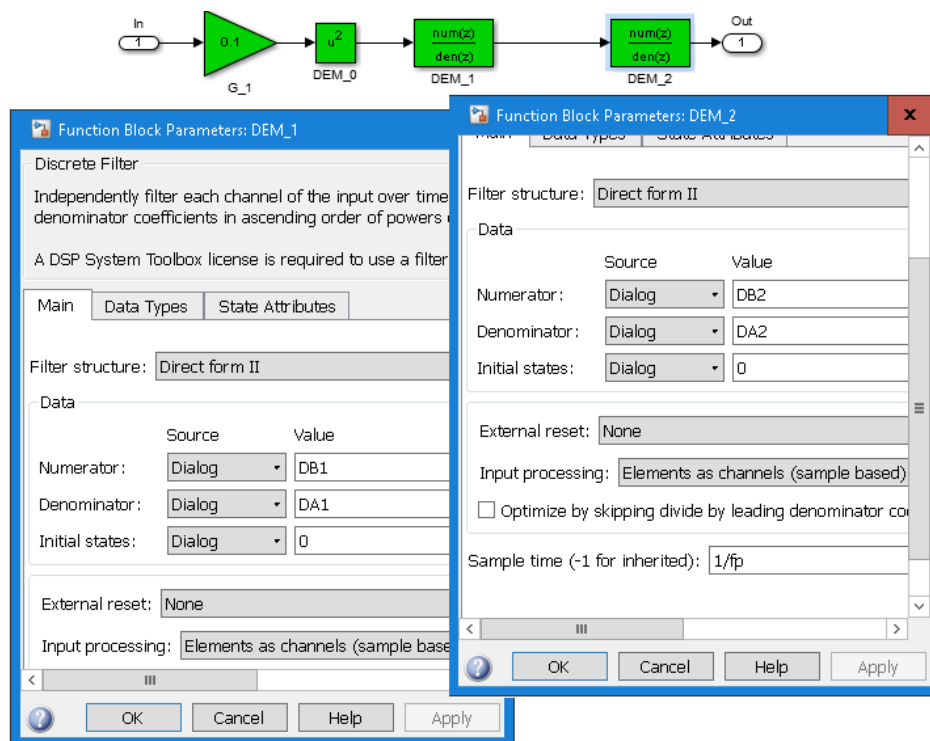
شكل(7) البرنامج التسبيحي في السيمولينك لمقياس الارتفاع.

الصندوق الأول تم تعديله لإتمام عملية التسبيه ولهذا تم تمييزه باللون الأزرق خلاف الصناديق الأخرى. لوحة البيانات والشكل الداخلي للدائرة معطى على الشكل (8) وكذلك باقي الصناديق الوظيفية بالترتيب على الأشكال (11-9).



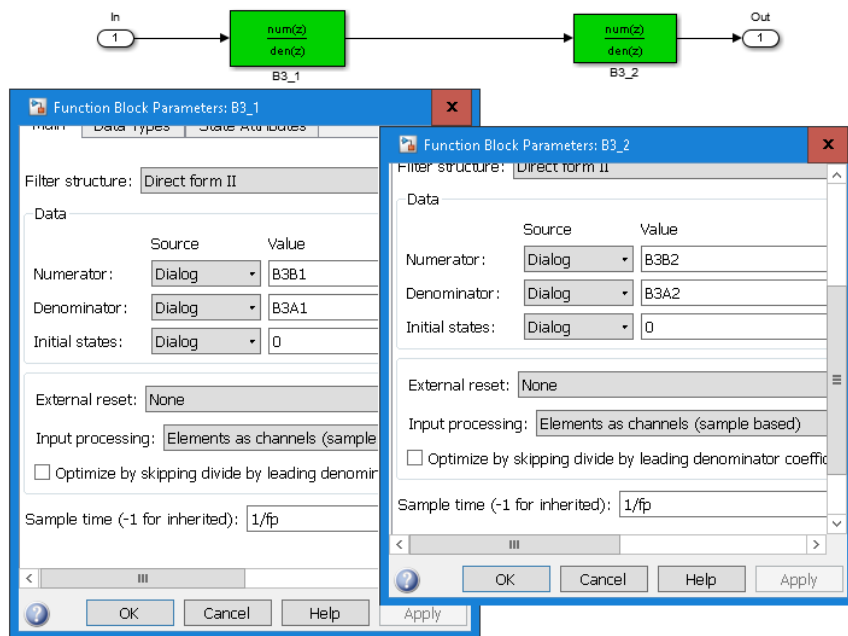
الشكل(8) مولد الاشارة والجزء الخاص بالصندوق الأول.

لوحة البيانات والشكل الداخلي للدائرة للصندوق B2 موضحة على الشكل(9).



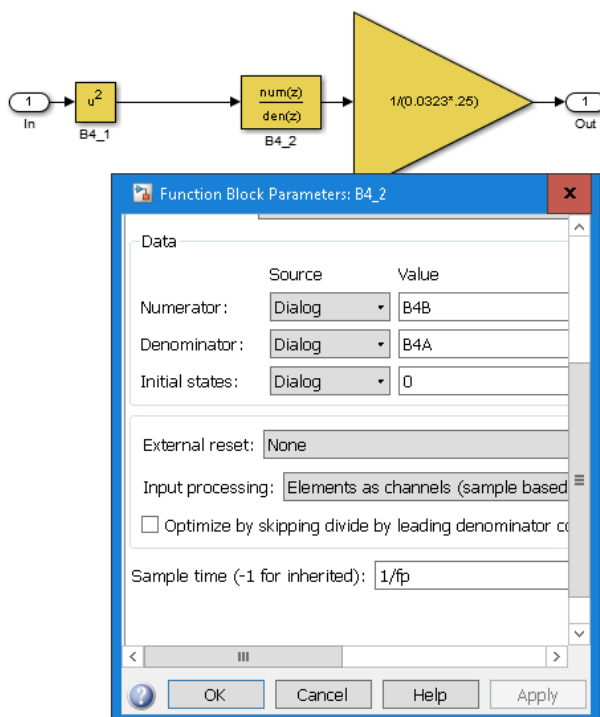
الشكل (9) الصندوق B2 البنية الداخلية والمعطيات.

لوحة البيانات والشكل الداخلي للدائرة للصندوق B3 معطى على الشكل (10).



الشكل (10) الصندوق B3 البنية الداخلية والمعطيات.

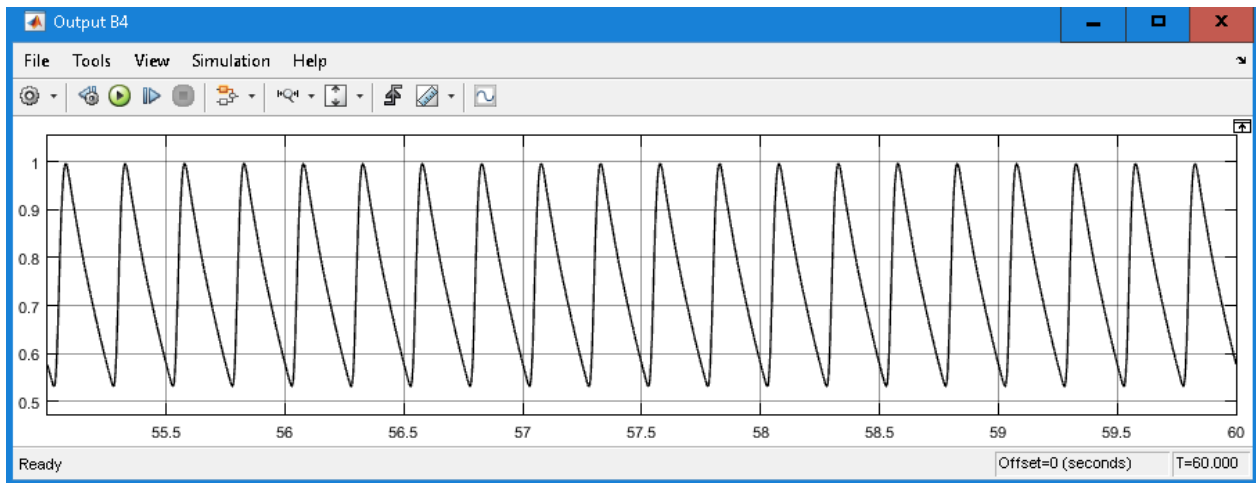
لوحة البيانات والشكل الداخلي للدائرة للصندوق B4 معطى على الشكل (11).



الشكل (11) الصندوق B4 البنية الداخلية والمعطيات.

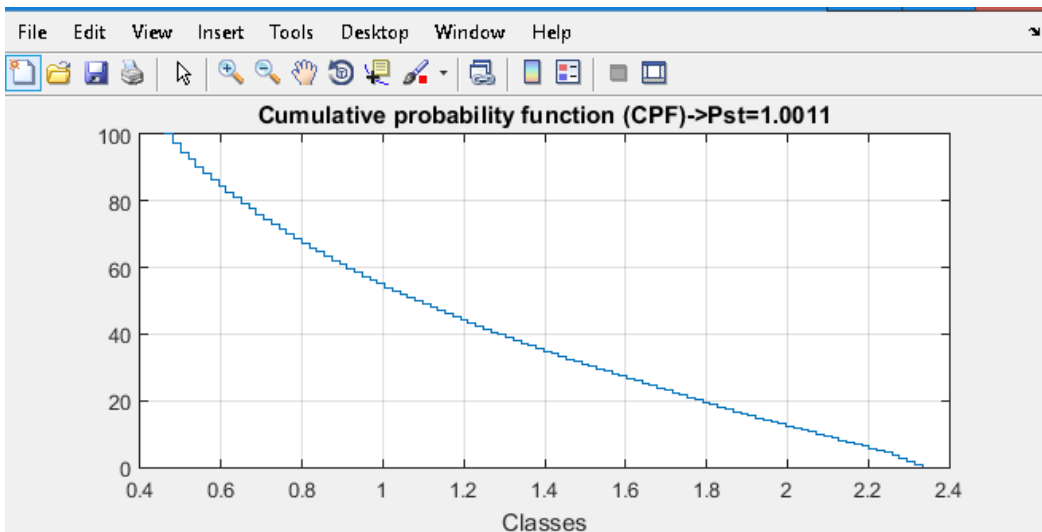
6. التجارب التشبيهية

بعد تعبئة كل البيانات المذكورة أعلاه، تم تشغيل المقياس لمعاييره وكانت النتائج دقيقة كما هو واضح على الشكل (12)، حيث يوضح الشكل اشارة المخرج الرابع للمعطيات الآتية (تلحين بإشارة مربعة بعمق 0.401% وبتردد 2 هيرتز). ونلاحظ على الاشارة اثر التربيع حيث ضاعف التردد.



الشكل (12) مخرج الصندوق الرابع اثناء المعايرة.

الشكل (13) يوضح دالة الاحتمالات التراكمية CPF وقيمة المؤشر Pst حسب المعطيات الآتية (تلحين بإشارة مربعة بعمق 0.725% وبتردد 110 تغييرة لكل دقيقة أي ما يناظر 0.9167 هيرتز).



الشكل (13) دالة الاحتمالات التراكمية.

7. الخلاصة

في الورقة تم اعطاء كل التفاصيل التصميمية لجهاز قياس ظاهرة الارتعاش. الجهاز مصمم بشكل مبسط لغرض تعليمي تدريسي، ولكن يمكن جلب البيانات الفعلية عن طريق أي جهاز له القدرة على تجميع البيانات، حيث يجب ملاحظة أن زمن القياس الفعلي هو 10 دقائق بتردد واحد كيلو عينة لكل ثانية، مما

يعطينا 600 الف عينة. الجهاز دقيق للغاية كما نلاحظ على قيمة مؤشر الإرتعاش 1.0011 للإشارة القياسية، مع أن النمط [2] يسمح بهامش $\pm 0.05\%$.

8. التوصيات

ظاهرة الإرتعاش الضوئي تحظى باهتمام دولي كبير نظرًا لخطورتها على الصحة العامة وما قد تسببه من حوادث أثناء العمل أو الدراسة أو حتى أثناء الترفيه. الفئة المعرضة للخطورة بشكل أكبر هي الأطفال والمرأهقين ثم الشباب. مقابل هذا الاهتمام الدولي نجد غياب اهتمام شبه تام (حتى لا نقول تاماً)، عليه كان هدف هذه الورقة بالدرجة الأولى تقديم هذا الموضوع واثارة الاهتمام به ودعوة الباحث من القطاعات المختلفة حسب اهتماماتهم للعمل المشترك، ونحن كمجموعة بحثية تابعة للمعهد العالي للتقنيات الهندسية نبدي أعلى درجات التعاون، ليس أقله تقديم كل البرامج الحاسوبية الخاصة بمقاييس الإرتعاش والمساعدة في تشغيلها والاجابة على كل الاستفسارات. كما ندعوا الزملاء الباحث لعقد ورشة عمل خاصة بهذا الموضوع في حالة وجد هذا الموضوع قبولاً كما نظن.

المراجع

- [1] CLC/TC 8X - System aspects of electrical energy supply 2019. EN 50160: Characteristics of the voltage (PQ) in public electricity supply networks.
- [2] Canadian Standards Association (operating as CSA Group) (link is external) 2021. IEC 61000-4-15: Electromagnetic compatibility (EMC) – Part 4-15: Testing and measurement techniques – Flickermeter – Functional and design specifications.
- [3] IEC 61000-3-3: Threshold values – limit of voltage changes, voltage variations and flicker in public low voltage supply networks for devices with a rated current $<= 16$ A per phase.
- [4] Photosensitive Epilepsy – symptoms – causes – treatment, webmd.com/epilepsy/guide/photosensitive-epilepsy-symptoms-causes-treatment
- [5] Photosensitivity and Seizures, epilepsy.com/learn/triggers-seizures/photosensitivity-and-seizures
- [6] Juvenile Myoclonic Epilepsy, epilepsy.com/learn/types-epilepsy-syndromes/juvenile-myoclonic-epilepsy
- [7] Arduino -Matlab based flickermeter Realization and verification according to IEC 61000-4-15 standard, 2018, LICEET 2018 (Libyan International Conference on Electrical and Technologies). academia.edu/36190143/Arduino_-Matlab_based_flickermeter_Realization_and_verification_according_to_IEC_61000-4-15_standard
- [8] Hartman M., Hashad M., Wolski L., "Computerised flickermeter according IEC 61000-4-15 and IEC 1000-3-3 standards 5" International Conference Electrical Power Quality and Utilisation, Sept. 1999, Krakow, Poland.
- [9] Matlab, MathWorks, Flickermeter Simulator, mathworks.com/matlabcentral/fileexchange/24423-flickermeter-simulator
- [10] M. Türkuzan and Ö. Salor, "Realization of IEC flickermeter for different types of lamps," 2016 24th Signal Processing and Communication Application Conference (SIU), 2016, pp. 1653-1656, doi: 10.1109/SIU.2016.

[11] S. Lodetti et al., "Sensitivity of modern lighting technologies to rapid voltage changes," 2018 18th International Conference on Harmonics and Quality of Power (ICHQP), 2018, pp. 1-6, doi: 10.1109/ICHQP.2018.

[12] G. Wiczynski and P. Kuwaek, "Influence of Sampling Rate on Flicker Assessment by IEC Flickermeter Built-in AMI Energy Meters," in IEEE Transactions on Industrial Electronics, doi: 10.1109/TIE.2021.

An Extended Study Regarding the Phenomenon of Optical Flicker and the Design Details of the Statistical Scale Designed by the Department of Electrical Engineering at the Higher Institute of Engineering Technology/Tripoli

Salem shffat^{1,*}, Nadya Almusraty², Majdi Bettamer³

¹Higher Institute of Engineering Technology/Tripoli. salemshffat5@gmail.com

²Higher Institute of Engineering Technology/Tripoli. nm8645091@gmail.com

³Higher Institute of Engineering Technology/Tripoli. magdimb75@gmail.com

ABSTRACT

The phenomenon of light tremors causes severe anxiety, tension and headaches, and in some cases it may lead to epilepsy for those who are sensitive to this type of nerve stimulation, and it occurs due to continuous or almost continuous fluctuations in the intensity of lighting. It does not mean here single changes regardless of their intensity, but rather that change that has a pattern and nature of continuous stress in time and its effect is of a cumulative statistical nature. This stress is at its highest intensity when the frequency of these changes is 8.8 Hz. It is known that the electrical power of the incandescent lamp is proportional to the root mean square of the instantaneous value RMS of the voltage wave. Therefore, these voltage disturbances must be monitored, which appear as the delay of the voltage wave amplitudes. This type of disturbance occurs due to the operation of the voltage regulators of the synchronous generators or due to the constant change in the value of the loads on the network, especially non-linear ones. Due to the importance of this topic to human safety, the European type EN-60150 has set permissible values for the value of the coefficient of Pst which gives the probability of occurrence of tension due to light jitter, based on the measurement of the instantaneous value of the voltage wave for ten minutes, corresponding to the Plt coefficient which is calculated based on the first parameter as a geometric mean for two hours, European style EN-50160 sets the limits for weekday continuous measurement. The meter is a device that consists of several functional boxes that end with a statistical analysis. Accordingly, the International Electrotechnical Council has issued a standard pattern IEC61000-4-15 that describes the box diagram for a measure of the effect of the phenomenon of light disturbance on human behavior. In this research paper, design details not mentioned in the patterns were given, as well as a computer program on Matlab for a digital scale based on a design for the Higher Institute of Engineering Technologies/Tripoli.

Keywords:

Statistical analysis.

Epilepsy in children.

Muscle spasms.

Epileptic seizures.

Electromagnetic compatibility.

Digital signal processors.

*Corresponding Author Email: salemshffat5@gmail.com
